

بررسی خاصیت ضد باکتریایی نانوذره‌های نقره در پلی استایرن‌های انبساطی دیرسوز و استاندارد

یونس کوکبی⁺، حسین امانی*

بابل، دانشگاه صنعتی نوشیروانی بابل، دانشکده مهندسی شیمی، گروه بیوتکنولوژی

حسن کریمی‌نژاد

بابل، دانشگاه صنعتی نوشیروانی بابل، دانشکده علوم پایه، گروه فیزیک

چکیده: در این پژوهش، ویژگی‌های ضد باکتریایی نانوکامپوزیت‌های نقره - پلی استایرن انبساطی دیرسوز و استاندارد بررسی شد. برای ساخت نانوکامپوزیت‌های نقره - پلی استایرن از روش حل کردن پلیمر در حلال و اختلاط پلیمر و نانوذره‌ها استفاده شد. در این روش برای هر دو نمونه نانوکامپوزیت پلیمری، محلول‌های ژله‌ای زرد رنگ شامل نانوذره‌های نقره در پلی استایرن با غلظت‌های ۱/۲/۵، ۲/۵ و ۳/۵ میکروگرم بر سانتی متر مکعب ساخته شد. تصویرهای میکروسکوپ الکترونی عبوری (TEM) و الگوی پراش اشعه ایکس (XRD) نشان دادند که اندازه نانوذره‌های نقره به کار رفته حدود ۲۰ nm می‌باشد. همچنین برای بررسی چگونگی توزیع نانوذره‌های نقره، مورفولوژی سطح مقطع نمونه‌های نانوکامپوزیت نقره - پلی استایرن به وسیله تصویرهای SEM مورد مطالعه قرار گرفتند. در ادامه خاصیت ضد باکتریایی این ورق‌های نانوکامپوزیت پلیمری بر باکتری‌های *Escherichia coli* ATCC 25922 و *S. aureus* ATCC 6538 به روش انتشار دیسک اصلاح شده بررسی شد. مقایسه نتیجه‌ها نشان داد که نانوکامپوزیت تهیه شده از پلی استایرن انبساطی دیرسوز روی هر دو نوع سویه باکتری خاصیت ضد باکتریایی ندارد درحالی که در نمونه پلی استایرن انبساطی استاندارد فقط در سویه *Staphylococcus aureus* ATCC 6538 خاصیت ضد باکتریایی وابسته به غلظت نانوذره‌های نقره دیده شد. نتیجه‌های این پژوهش برپایه نقش غلظت نانوذره‌های نقره، ناخالصی‌های نمونه‌های پلی استایرن و ویژگی‌های ساختاری میکرووارگانیسم‌ها توجیه شد. این پژوهش می‌تواند به عنوان پایه‌ای برای پژوهش‌های آینده پیرامون نانوکامپوزیت‌های پلی استایرن ضدباکتریایی با کاربردهای گسترده‌گی صنعتی و بهداشتی مورد توجه قرار گیرد.

واژه‌های کلیدی: پلی استایرن انبساطی؛ نانوذره‌های نقره؛ نانوکامپوزیت؛ خاصیت ضد باکتریایی؛ اشرشیاکولی؛ استافیلوکوکوس ارتوس.

KEYWORDS: Expandable Polystyrene; Silver nanoparticle; Nanocomposites; Antibacterial properties; *E. coli*; *S. aureus*.

+E-mail: hamani@nit.ac.ir

* عهده دار مکاتبات

معادل فارسی مورفولوژی = ریخت شناسی استفاده شود.

علمی - پژوهشی

مقدمه

استفاده می‌شود که اشتریشیا کلی^(۱) و استافیلوکوکوس اورئوس^(۲) از پرکاربردترین آن‌ها می‌باشند. اشتریشیا کلی یا به اختصار *E. coli* نوعی باکتری گرم-منفی است که به طور عموم در روده جانوران خونگرم یافت می‌شود [۱۲]. استافیلوکوکوس اورئوس یا به اختصار *S. aureus* نیز نوعی باکتری گرم-مثبت و بی‌هوای اختیاری است که به عنوان یکی از موفق‌ترین باکتری‌های بیماری‌زا به شمار می‌آید [۱۳]. با توجه به اینکه در بسیاری از مطالعه‌ها بررسی ضدباکتریایی نانوکامپوزیت‌ها از اشتریشیا کلی و استافیلوکوکوس اورئوس به عنوان مدل‌های شناخته شده استفاده می‌شود در این پژوهش نیز از این میکرو ارگانیسم‌ها استفاده می‌شود. باید توجه نمود که اشتریشیا کلی شایع‌ترین عامل عفونت دستگاه ادراری است و عامل حدود ۹۰ درصد عفونت‌های ادراری در زنان جوان است. استافیلوکوکوس اورئوس نیز گستره گسترده‌ای از عفونت‌ها از جمله عفونت‌های ساده پوستی (مانند جوشدانه، کورک، کفگیرک، گل مژه و آبسه) گرفته تا بیماری‌های تهدید کننده زندگی (مانند پنومونی، منثیت، استئومیلیت، اندوکاردیت، سندروم شوک سمی و سپتی سمی) را ایجاد می‌نماید. همچنین استافیلوکوکوس اورئوس به عنوان یکی از ۵ عامل شایع ایجاد‌کننده عفونت‌های بیمارستان به ویژه عفونت‌های زخم پس از جراحی است. در یکی از مطالعه‌های اخیر، رفتار ضدباکتریایی نانوکامپوزیت‌های پلی استایرن معمولی دارای نانوذره‌های نقره توسط ایرجیز/اد و همکاران [۶] در غلظت‌های گوناگونی از نانوذره‌های نقره در حضور *E. coli* مورد مطالعه قرار گرفته است. هرچند پلی استایرن‌های معمولی خاصیت ضد باکتریایی از خود نشان داده اند، با این وجود با توجه به مصرف بالای پلی استایرن انساطی در مصرف‌های ساختمانی و بهداشتی به نظر می‌رسد که انجام یک پژوهش جامع در زمینه بررسی خاصیت ضد باکتریایی این نوع نانوکامپوزیت‌های پلیمری در حضور انواع گوناگون باکتری‌ها نیاز است. ولی براساس بررسی‌هایی که انجام گرفت تاکنون هیچ گزارشی پیرامون خاصیت ضد باکتریایی نانوکامپوزیت‌های پلی استایرن انساطی دیرسوز و استاندارد و مقایسه آن‌ها ارایه نشده است. درنتیجه این پژوهش به بررسی

نانوذره‌های نقره به اتم‌های نقره با اندازه‌های ۱ تا ۱۰۰ نانومتر گفته می‌شوند که به سبب ویژگی‌های فیزیکی و شیمیایی یگانه به طور گسترده در صنایع گوناگون مورد استفاده قرار می‌گیرند. ویژگی‌های ضد باکتریایی چشمگیر این نانوذره‌ها در زمینه‌های بسیاری همچون تولید مواد ضدغوفونی کننده، پارچه‌ها و ساخت ابزار پزشکی مورد توجه و استفاده قرار گرفته است [۱]. در این راستا آمیختن نانو ذره‌های نقره با پلیمر و ساخت نانوکامپوزیت پلیمری یکی از پرکاربردترین روش‌های استفاده از آن‌ها به شمار می‌رود. نانوکامپوزیت پلیمری به عنوان پرکاربردترین نانوکامپوزیت، ساختاری است که در ماتریس بستر پلیمری آن یک یا چند نوع نانوذره پخش شده است. تاکنون نانوکامپوزیت‌های پلیمری گوناگونی در حضور نانوذره‌های نقره تهیه شده اند که از جمله مهم‌ترین بسترهای مورد استفاده می‌توان به پلیمرهای وینیلی مانند پلی متیل متاکریلات^(۱) [۳، ۲]، پلی وینیل الکل^(۲) [۴، ۵]، پلی استایرن [۶]، پلی الیفن‌هایی مانند پلی اتیلن [۷، ۸] و پلیمرهایی ویژه مانند پلی آنیلین^(۹) [۹] اشاره کرد.

پلی استایرن یک نوع پلیمر سخت می‌باشد که از کنار هم قرار گرفتن پشت سرهم مونومرهای استایرن به وجود می‌آید. استایرن که از ترکیب‌های آروماتیک ساده است از قدیمی‌ترین ترکیب‌های شناخته شده وینیل محسوب می‌شود و برای نخستین بار در سال ۱۸۳۹ میلادی توسط دوارد سیمون^(۳) شیمیدان آلمانی از رزین‌های طبیعی تهیه شد [۱۰]. حلقه آروماتیک به سختی پلیمر کمک کرده و از جایه‌جایی زنجیر که از عامل‌های شکنندگی پلیمر به حساب می‌آید جلوگیری می‌نماید. پلی استایرن‌ها را براساس چگونگی تولید آن می‌توان در سه گروه پلی استایرن معمولی (GPPS)^(۴)، پلی استایرن انساطی (EPS)^(۵) و پلی استایرن مقاوم (HIPS)^(۶) طبقه بندی کرد [۱۱]. همچنین پلی استایرن انساطی دیرسوز در مقایسه با پلیمر انساطی استاندارد دارای ترکیب برم دار افزوده شده^(۷) است که پرکاربردترین ماده افزودنی ضد آتش در صنعت پلیمر برای ایجاد خاصیت دیرسوزی است. برای بررسی ویژگی‌های ضد باکتریایی نانوکامپوزیت‌های پلیمری از باکتری‌های گوناگونی

(۱) Poly(methyl methacrylate)

(۲) Polyvinyl Alcohol

(۳) Edward Simon

(۴) General Purpose Polystyrene

(۵) Expanded Polystyrene

(۶) High Impact Polystyrene

(۷) Hexabromocyclododecane

(۸) *Escherichia coli*(۹) *Staphylococcus aureus*

ورقه‌های نانوکامپوزیت الف، ب و ج به دست آید. همچنین نمونه‌های کنترل ورقه‌های نانوکامپوزیت (د) به صورت ورقه‌های ۵٪ وزنی پلی استایرن انساطی در کربن تراکلرید بدون نانوذره‌های نقره به این روش تهیه شد. جدول ۱، مقدار (غلظت) نانوذره‌های نقره نهایی در ورقه‌های نانوکامپوزیت - پلی استایرن انساطی را نشان می‌دهد. از این جدول پیداست که غلظت نانوذره‌ها در ورقه ج ۱/۵ برابر ورقه ب و در ورقه ب دو برابر ورقه الف است. حجم‌های ۵۰، ۱۰۰ و ۱۵۰ میلی لیتر از محلول مرجع نانوذره‌های نقره در استن که به ترتیب در آنها ۱۸۷/۵، ۵۶۲/۵ و ۳۷۵ میکروگرم نانوذره‌های نقره وجود دارد با محلول ۵٪ وزنی پلی استایرن در کربن تراکلرید به مدت های ۶ و ۸ ساعت مخلوط شد. پس از این مدت‌ها با از دست دادن حلال، ۱۵ میلی لیتر از محلول نهایی به دست آمد که با تقسیم میکروگرم نانوذره‌های نقره بر ۱۵ میلی لیتر محلول به ترتیب غلظت‌های $\mu\text{g/mL}$ ۲۵، ۱۲/۵ و ۳۷/۵ به دست آمد.

آزمایش خاصیت ضد باکتری نانوکامپوزیت‌های نقره - پلی استایرن
برای ارزیابی فعالیت ضد باکتریایی نانوذره‌های نقره در حضور باکتری های *S. aureus* ATCC 25922 و *E. coli* ATCC 6538 از روش انتشار دیسک اصلاح شده^(۱) استفاده شد [۱۴-۱۷]. در این روش که در اینجا در محیط کشت جامد نوتربینت آغاز انجام می‌شود، پس از قرار دادن نمونه، حضور هاله بازدارنده حول ورقه‌های نانوکامپوزیت وجود خاصیت ضد باکتریایی را نشان می‌دهد که بررسی قطر هاله ایجاد شده میزان عملکرد ضد باکتریایی این نانوکامپوزیت را به دست می‌دهد [۱۸، ۱۹].

ابتدا در محیط کشت مایع، محلولی از باکتری های *E. coli* ATCC 25922 و *S. aureus* ATCC 6538 در غلظت نیم مک فارلند دارای 10^8 CFU/mL باکتری تهیه شد. این نمونه‌ها بر روی پتري ديش های حاوی محیط کشت جامد نوتربینت آغاز به روش کشت خطی کشت داده شده و برای نشاندن ورقه های نانوکامپوزیت بر روی آنها آماده شد. ورقه های نانوکامپوزیت الف، ب و ج شامل نانوذره‌های نقره در غلظت‌های گوناگون و ورقه کنترل بدون نانوذره‌های نقره بر روی پتري ديش های محیط کشت هر یک از دو باکتری مورد بررسی نشانده شد. در ادامه پتري ديش‌ها به درون انکوباتور منتقل شده و به مدت ۴۸ ساعت در دمای ۳۷°C برای بررسی‌های خاصیت ضد باکتری نگهداری شدند.

(۱) Nutrient Agar

ویژگی‌های ضد باکتریایی نانوکامپوزیت‌های نقره - پلی استایرن انساطی دیرسوز و استاندارد در حضور باکتری گرم - منفی و باکتری گرم - مثبت *S. aureus* می‌پردازد

بخش تجربی مواد و میکرو اور گانیسم ها

نمونه پلی استایرن انساطی استاندارد (FC422) از مجتمع پتروشیمی تبریز و پلی استایرن انساطی دیرسوز (گرید F-۴۰۰۰) از مجتمع پتروشیمی بانیار گبدکاووس تهیه شد. در این پژوهش (US Research Nanomaterials, Inc., USA) از نانوذره‌های نقره با درجه خلوص ۹۹.۹۹٪ استفاده شد. محیط کشت جامد نوتربینت آغاز (۱) و باکتری‌های مورد استفاده در این آزمایش نیز *E. coli* ATCC 25922 و *S. aureus* ATCC 6538 می‌باشد که از بخش میکروب شناسی انسستیتو پاستور ایران تهیه شد. همچنین کلیه مواد شیمیایی مانند حلال‌های استن و کربن تراکلرید از فراورده‌های شرکت مرک تهیه شد.

روش ها

ساخت نانوکامپوزیت نقره - پلی استایرن انساطی
برای ساخت نانوکامپوزیت‌های نقره - پلی استایرن از روش حل کردن پلیمر در حلال و اختلاط پلیمر و نانوذره‌های استفاده شد. برای این منظور ابتدا مخلوط ۵٪ وزنی پلی استایرن از هردو فراورده‌ی پتروشیمی‌های بانیار و تبریز در کربن تراکلرید تهیه شد محلول مرجع نانوذره‌های نقره در استن ($3/75 \mu\text{g/mL}$) با ترکیب $1/5 \text{ mg mL}^{-1}$ نانوذره‌های نقره در 400 mL استن به دست آمد. سه مخلوط متفاوت به ترتیب با اتحلال حجم‌های ۵۰ و ۱۵۰ میلی لیتر از محلول مرجع نانوذره‌های نقره در 100 mL از محلول ۵٪ وزنی پلی استایرن در کربن تراکلرید به صورت جداگانه تهیه شد. این فرایند در هر دو نمونه پلی استایرن انساطی بانیار و تبریز انجام پذیرفت. فرایند همگن سازی این محلول‌ها با کمک دستگاه حمام اولتراسونیک مدل XB2 (Grant Instruments, Cambridge, UK) به مدت $5/4$ ساعت انجام شد، سپس مخلوط‌های به دست آمده به وسیله همزن مغناطیسی هم‌زدھ شد. محلول نهایی (۱۵ میلی لیتر) محلولی زردرنگ با گرانزوی بالا (ژله مانند) می‌باشد که در قالب‌های شیشه‌ای ریخته می‌شود تا همراه با از دست دادن حلال به صورت

(۶) Modified disc diffusion method

جدول ۱- مقدار (غلظت) نانوذره‌های نقره نهایی در ورقه های نانوکامپوزیت - پلی استایرن انساطی الف ، ب، ج و د پس از مخلوط کردن و همگن‌سازی محلول مرجع نانوذره‌های نقره با ۱۰۰ میلی لیتر از محلول ۵٪ وزنی پلی استایرن در کربن تتراکلرید و تبخیر حلال‌ها.

عنوان نمونه	کنترل د	الف	ب	ج
حجم محلول نانوذره‌های نقره (میلی لیتر)	-	۵۰	۱۰۰	۱۵۰
غلظت نانوذره‌های نقره در ورقه ($\mu\text{g}/\text{cm}^3$)	-	۱۲/۵	۲۵	۳۷/۵

جدول ۲- ویژگی‌های پلی استایرن انساطی استاندارد پتروشیمی تبریز.

واحد	مقادیر	ویژگی
میلی متر	۰/۵ - ۰/۷	قطر گرانول
درصد وزنی	%۵	میزان پنتان
ppm	۵۰۰	مونومر باقیمانده

جدول ۳- ویژگی‌های پلی استایرن انساطی دیرسوز پتروشیمی بانیار.

واحد	مقادیر	ویژگی
میلی متر	۰/۶ - ۰/۹	قطر گرانول
درصد وزنی	%۶	میزان پنتان
ppm	۱۰۰۰	مونومر باقیمانده

کلیه آزمایش ها ۳ بار تکرار شده و میانگین آماری نتیجه‌ها گزارش شد. HBCD) است [۲۰] که پرکاربردترین ماده افزودنی ضد آتش در صنعت پلیمر برای ایجاد خاصیت دیرسوزی است.

ویژگی‌های نانوذره‌های نقره

تصویر TEM نانوذره‌های نقره مورد بررسی در شکل ۱ نشان داده شده است. در این شکل با توجه به مقیاس تصویر می‌توان دریافت که این ساختار نقره دارای اندازه‌ها در مقیاس نانو می‌باشد. برای یافتن اندازه‌های دقیق نانوذره‌های، الگوی پراش اشعه X (XRD) استفاده شد. با استفاده از معادله شرر^(۱) به صورت زیر [۲۱، ۲۲]، اندازه نانوذره‌ها قابل محاسبه می‌باشد:

$$D = \frac{\beta \lambda}{2 \cos(\theta)}$$

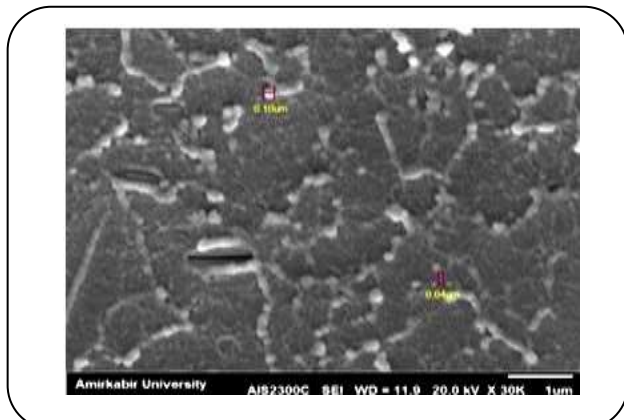
در این معادله λ طول موج اشعه X در، β پهنه‌ای کامل قله در نیمه ارتفاع بیشینه (FWHM)، θ زاویه پراش برآگ و D قطر نانوذره‌ها است. محاسبه‌های انجام شده با استفاده از مقدارهای

نتیجه‌ها و بحث آنالیز پلی استایرن های انساطی

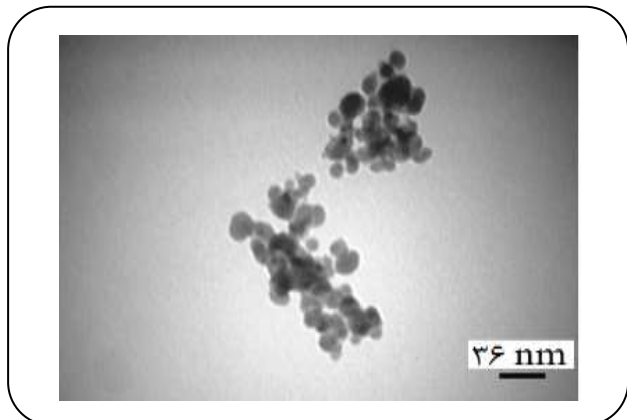
جدول ۲ ویژگی‌های پلی استایرن انساطی استاندارد پتروشیمی تبریز را به دست می‌دهد. مطابق این جدول این پلیمر دارای اندازه‌های گرانول $0/5 - 0/7$ mm بوده و دارای ۵٪ گاز پنتان است و میزان مونومر باقی مانده در گرانول‌های پلیمری ۵۰۰ ppm می‌باشد. جدول ۳ ویژگی‌های پلی استایرن انساطی دیرسوز پتروشیمی بانیار را به دست می‌دهد. مطابق این جدول این پلیمر دارای اندازه‌های گرانول $0/6 - 0/9$ mm بوده و همچنین دارای ۶٪ گاز پنتان می‌باشد و همچنین مونومر باقی مانده در گرانول‌های پلیمری ۱۰۰۰ ppm می‌باشد. پلی استایرن انساطی دیرسوز پتروشیمی بانیار در مقایسه با پلیمر انساطی استاندارد پتروشیمی تبریز دارای ترکیب برم دار افزوده شده

(۱) Scherrer equation

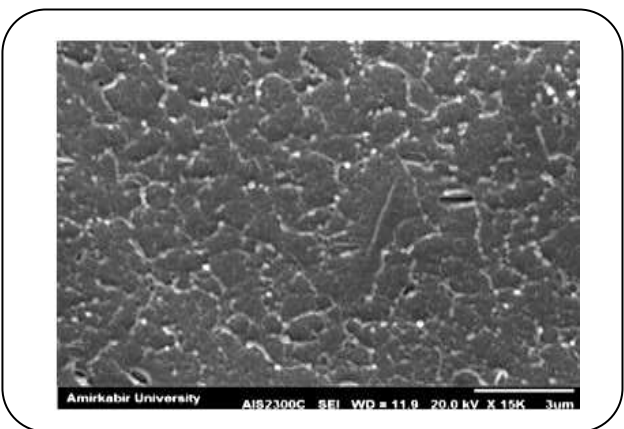
(۶) Full width at half maximum



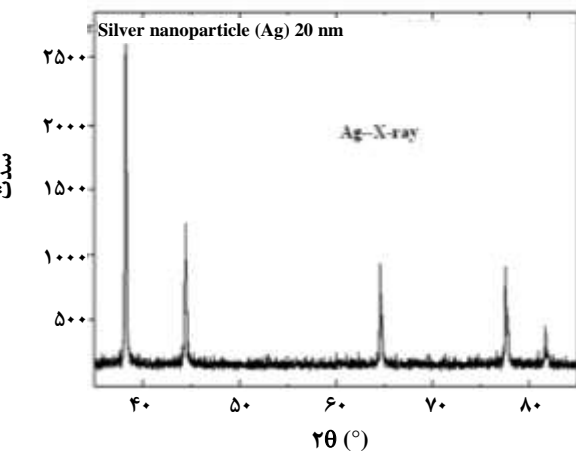
شکل ۳- تصویر SEM از سطح نانوکامپوزیت نقره-پلی استایرن انساطی پتروشیمی بانیار.



شکل ۱- تصویر TEM نانوذرهای نقره به کار رفته در نانوکامپوزیت‌های پلی استایرن انساطی.



شکل ۴- تصویر SEM از سطح نانوکامپوزیت نقره-پلی استایرن انساطی پتروشیمی تبریز.



شکل ۲- الگوی پراش XRD نانوذرات نقره به کار گرفته شده در نانوکامپوزیت‌های پلی استایرن انساطی در بازه زاویه $35^\circ - 85^\circ$.

آنالیز ساختار توسط میکروسکوپ الکترونی روبشی نانوکامپوزیت‌های پلی استایرن حاوی نانوذرهای نقره را نشان می‌دهد. با توجه به شکل ۳ دیده می‌شود که نانوذرهای نقره به صورت خوش‌ای و تجمعی در پلیمر پلی استایرن انساطی دیرسوز پتروشیمی بانیار پخش شده اند در حالی که مطابق شکل ۴ نانوذرهای نقره به صورت جا از هم در پلیمر پلی استایرن انساطی پتروشیمی تبریز توزیع شده اند.

خاصیت ضد باکتریایی ورقه‌های نانوکامپوزیت‌های نقره-پلی استایرن انساطی استاندارد بر روی باکتری *E. coli* ATCC 25922
پس از ۴۸ ساعت نگهداری پتری دیش‌های دارای باکتری *E. coli* ATCC 25922 و ورقه‌های دارای نانوکامپوزیت

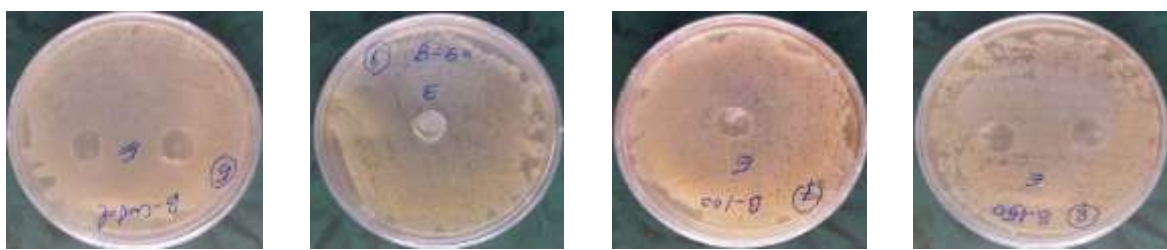
به دست آمده از الگوی XRD در شکل ۲ با دستگاه اشعه X با طول موج ($\lambda = 1.5406 \text{ \AA}$ ، زاویه پراش ($2\theta = 38^\circ$) و پهنای حدود نیم درجه نشان داد که اندازه نانوذرهای نقره در حدود ۲۰ nm است.

بررسی نتیجه‌های SEM نانوکامپوزیت‌های پلی استایرن انساطی:
مورفولوژی سطح نمونه‌های پلیمری انساطی استاندارد و دیرسوز و همچنین نانوکامپوزیت‌های ساخته شده دارای نانوذرهای نقره از این نمونه‌ها با استفاده از میکروسکوپ الکترونی روبشی (SEM)^(۱) مورد مطالعه قرار گرفت. شکل ۳ و ۴ نتیجه‌های

(۱) Scanning Electron Microscopy



شکل ۵- ورقه کنترل (د) و ورقه های نانوکامپوزیت نقره-پلی استایرن انساطی استاندارد با غلظت های گوناگون نانو ذره های نقره (الف، ب و ج) در پتری دیش های دارای باکتری *E.coli* ATCC 25922



شکل ۶- ورقه کنترل (د) و ورقه های نانوکامپوزیت نقره - پلی استایرن انساطی دیرسوز با غلظت های گوناگون نانو ذره های نقره (الف، ب و ج) در پتری دیش های دارای باکتری *E.coli* ATCC 25922

نقره - پلی استایرن انساطی دیرسوز در انکوباتور و در دمای ۳۷°C تصویرهای تغییرهای صورت پذیرفته روی نمونهها ثبت شد. نتیجه های به دست آمده در شکل ۶ نشان داده شده است.

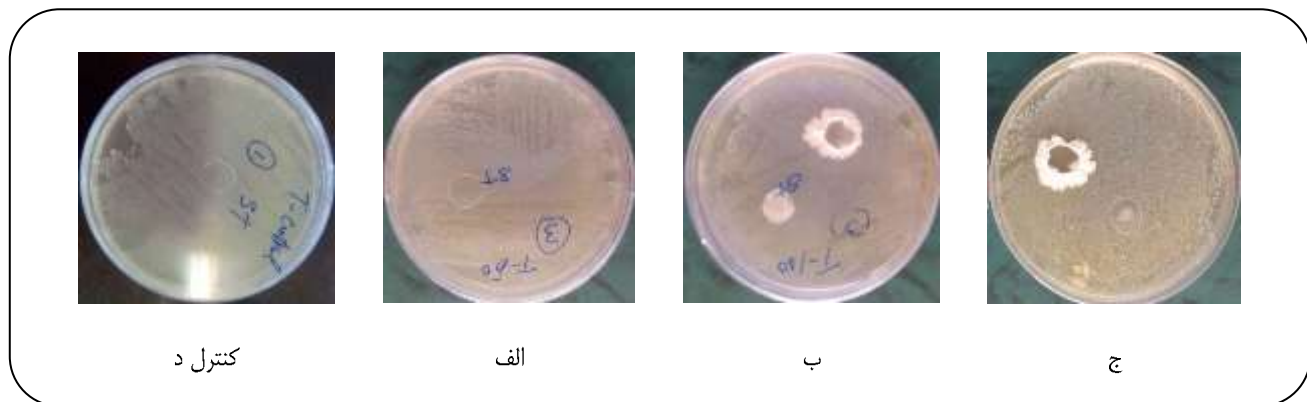
همان گونه که در شکل های ۶ دیده می شود، طبق روش انتشار دیسک اصلاح شده ظاهر نشدن هاله بیانگر این است که ورقه های نمونه پلی استایرن انساطی دیرسوز پتروشیمی بانیار هیچ اثر ضد باکتریایی بر باکتری *E. coli* ATCC 25922 ندارد. این نتیجه ها در تمامی نمونه های نانو کامپوزیت های نقره - پلی استایرن بروزی و تکرار شد.

نقره - پلی استایرن انساطی استاندارد در انکوباتور و در دمای ۳۷°C تصویرهای تغییرهای صورت پذیرفته روی نمونهها ثبت شد. نتیجه های به دست آمده در شکل ۵ نشان داده شده است.

همان گونه که در شکل های ۵ دیده می شود، طبق روش انتشار دیسک اصلاح شده، ظاهر نشدن هاله بیانگر این است که ورقه های نمونه پلی استایرن انساطی استاندارد پتروشیمی تبریز هیچ اثر ضد باکتریایی بر باکتری *E. coli* ATCC 25922 ندارد. این نتیجه ها در تمامی نمونه های نانو کامپوزیت های نقره-پلی استایرن بروزی و تکرار شد.

خاصیت ضد باکتریایی ورقه های نانو کامپوزیت های نقره - پلی استایرن انساطی استاندارد بر روی باکتری *S. aureus* ATCC 6538
پس از ۴۸ ساعت نگهداری پتری دیش های دارای باکتری *S. aureus* ATCC 6538

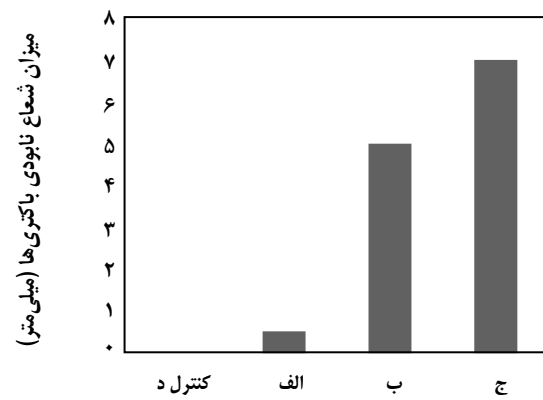
خاصیت ضد باکتریایی ورقه های نانو کامپوزیت های نقره - پلی استایرن انساطی دیرسوز بر روی باکتری *E. coli* ATCC 25922
پس از ۴۸ ساعت نگهداری پتری دیش های دارای باکتری *E. coli* ATCC 25922 و ورقه های دارای نانو کامپوزیت



شکل ۷- ورقه کنترل (د) و ورقه های نانوکامپوزیت نقره-پلی استایرن انساطی استانداردبا غلظت های گوناگون نانو ذردهای نقره (الف، ب و ج) در پتری دیش های دارای باکتری *S. aureus* ATCC 6538.

همان گونه که در این شکل دیده می شود با افزایش غلظت نانوذرهای نقره، شعاع نابودی باکتری ها افزایش پیدا می کند. در واقع که با افزایش غلظت نانوذرهای نقره یون های نقره بیشتری آزاد می شود که وجود همین یون های نقره باعث نابودی باکتری ها می شود.

خاصیت ضد باکتریایی ورقه های نانو کامپوزیت های نقره -
پلی استایرن انساطی دیرسوز بروی باکتری *S. aureus* ATCC 6538 پس از ۴۸ ساعت نگهداری پتری دیش های دارای باکتری *S. aureus* ATCC 6538 و ورقه های حاوی نانو کامپوزیت نقره - پلی استایرن انساطی دیرسوز در انکوباتور و در دمای 37°C تصویرهای تغییرهای صورت پذیرفته روی نمونه ها ثبت شد. نتیجه های به دست آمده در شکل ۹ نشان داده شده است. همان گونه که در شکل های ۹ دیده می شود، طبق روش انتشار دیسک اصلاح شده ظاهر نشدن هاله یانگر این است که ورقه های نمونه پلی استایرن انساطی دیرسوز پتروشیمی بانیار هیچ اثر ضد باکتریایی بر باکتری *S. aureus* ATCC 6538 ندارد. بنابراین بر اساس نتیجه های آزمایش ها، خاصیت ضد باکتریایی نانوکامپوزیت نقره - پلی استایرن های انساطی به نوع پلی استایرن انساطی، نوع باکتری، اندازه ذرمها و غلظت نانوذرهای نقره بستگی دارد. نمونه کامپوزیت نقره - پلی استایرن انساطی دیرسوز بانیار بدون هرگونه اثر ضد باکتریایی در هر دو نوع باکتری مورد بررسی می باشد. نمونه نانوکامپوزیت نقره - پلی استایرن انساطی استاندارد پتروشیمی تبریز در مقابل باکتری *E. coli* ATCC 25922 اثر ضد باکتریایی ندارد.



شکل ۸ - افزایش میانگین شعاع نابودی باکتری ها با افزایش غلظت نانوذرهای نقره.

نقره - پلی استایرن انساطی استاندارد در انکوباتور و در دمای 37°C تصویرهای تغییرهای صورت پذیرفته روی نمونه ها ثبت شد. نتیجه های به دست آمده در شکل ۷ نشان داده شده است. در شکل های ۷ ورقه های نانوکامپوزیت نقره - پلی استایرن انساطی استاندارد حاوی غلظت های گوناگون نانوذرهای نقره بر پتری دیش های حاوی باکتری *S. aureus* ATCC 6538 نشان داده شده است. مطابق این شکل ها ورقه های نانوکامپوزیت نقره - پلی استایرن با اعمال اثر ضد باکتریایی هاله ای در اطراف خود ایجاد نموده است، که این هاله نشانگر نابودی باکتری *S. aureus* ATCC 6538 می باشد. این اثر ضد باکتریایی وابستگی مستقیم به غلظت نانوذرهای نقره تزریقی در ساختار نانوکامپوزیت دارد. به طوری که مطابق شکل ۸ با افزایش غلظت نانوذرهای میانگین شعاع نابودی باکتری ها نیز افزایش می یابد.



شکل ۹- ورقه کنترل (د) و ورقه های نانوکامپوزیت نقره - پلی استایرن انسپاسطی دیرسوز با غلظت های گوناگون نانو ذره های نقره (الف، ب و ج)
در پتربی دیش های دارای باکتری *S. aureus* ATCC 6538

داخل سلول به سمت یون های نقره، غشای سیتوپلاسم در خود جمع می شود و یا از دیواره سلولی جدا می شود. در نتیجه ناحیه ای با ازدحام الکترون کمتر در میانه سلول ها ایجاد می شود که مولکول های متراکم DNA در وسط آن قرار دارند [۳۱]. در این مکانیسم یون های نقره به سامانه دفاعی عمومی باکتری های گرم - منفی و مثبت که از DNA محافظت می کند حمله می کند. از آنجایی که DNA دارای مهم ترین اطلاعات ژنتیکی در سلول هاست، هر گونه آسیب به دی ای به جهش ژنتیکی و یا مرگ ارگانیسم می انجامد. در نتیجه طبیعی است که برخی سلول ها برای محافظت از آن وارد عمل شوند [۳۲، ۳۳]. شوک وارد شده ناشی از ورود یون های نقره به درون سلول که خود از انواع هجوم خارجی به میکرو ارگانیسم به حساب می آید می تواند باعث تولید پروتئین هایی با وزن مولکولی پایین در میانه سلول شود که با به هم پیوستن در قسمت هسته ای موجب محافظت از DNA می شود. با توجه به مشاهده های آزمایشگاهی [۳۱] حضور یون های نقره در میانه توده هایی آکنده از الکترون و تقریباً نبود این توده ها در نوآنایی های با تراکم الکترون پایین می تواند کار کرد محافظتی نواحی با تراکم پایین الکترون از DNA (با دور نگه داشتن از یون های نقره) را توضیح دهد. ولی نکته چشمگیر در اینجاست که رونویسی مولکول های سلولی DNA در زمان تکثیر سلولی زمانی به طور مؤثر اتفاق می افتد که این مولکول ها در حالت استراحت باشند و در واقع در حالت متراکم توانایی خود برای رونویسی را از دست می دهند. بنابراین هر چند خود DNA از هجوم یون های مهاجم محافظت می شود اما تراکم آن باعث می شود که تکثیر و رشد سلولی متوقف شود که سرانجام منجر به مرگ میکرو ارگانیسم می انجامد.

در حالی که این نانوکامپوزیت بر باکتری گرم - مثبت *S. aureus* ATCC 6538 اثر ضد باکتریایی از خود نشان می دهد که این اثر نیز به غلظت نانوذره ها بستگی دارد و با افزایش غلظت روندی افزایشی نشان می دهد. در توجیه این مشاهدها بر اساس دیگر مطالعه های صورت گرفته، نانوذره های نقره به دو روش می توانند از خود خاصیت ضد باکتریایی در ماکرومولکول های زیستی نشان دهند. در مکانیسم اول، نانو مواد یون هایی را آزاد می کنند که با گروه تیول (گروه های عاملی به شکل -SH) موجود در پروتئین های سطح سلول باکتری ها واکنش می دهند. گروه های تیول موجود در آنزیمه ها و پروتئین های سلول برای تنفس باکتری و انتقال مواد از غشای سلولی اهمیت دارد و هر گونه برهمنکش با عوامل خارجی عملکردی آن ها را مختل می کند [۲۴-۲۵]. این گونه پروتئین ها از غشای سلولی باکتری به سمت بیرون، برآمدگی داشته و موجب انتقال مواد غذایی از دیواره سلول می شوند. نانو مواد این پروتئین ها را غیر فعال کرده، نفوذ پذیری غشا را کاهش داده و سرانجام باعث مرگ سلولی می شوند [۲۶]. برای نمونه بریدیش / استول و همکاران [۲۷] نشان دادند که نانوذره های نقره در برهمنکش با باکتری ها و قارچ ها سامانه تنفسی آن ها را از کار می اندازند و از طریق اختلال در متابولیسم سلولی آن ها مانع از رشد باکتری می شوند [۲۸]. اتصال به دیواره سلولی باکتری و سلول های بیرونی باکتری باعث تغییر کارکرد غشا سلولی باکتری می شود [۲۹] و حتی به این واسطه است که فلز نقره و ترکیبات آن منجر به جلوگیری موثر از عفونت زخم ها می شود [۳۰]. در مکانیسم دوم، پس از حضور یون های مثبت نقره در اطراف سلول و با آغاز نفوذ از دیواره سلولی، با کشانده شدن الکترون های دیواره و

همچنین بر طبق مشاهده‌های ما نمونه نانوکامپوزیت نقره - پلی استایرن انساطوی استاندارد پتروشیمی تبریز فقط بر باکتری گرم - مثبت ۶۵۳۸ ATCC *S. aureus* اثر ضد باکتریایی از خود نشان می‌دهد. این موضوع را می‌توان بر اساس دو ویژگی متمایز باکتری های گرم - مثبت در برهمکنش با نانوذره‌های نقره در مقایسه با باکتری های گرم - منفی جستجو کرد. دیواره سلولی باکتری های گرم - منفی از دو لایه شامل غشای خارجی باکتریایی^(۱) و غشای سلولی سیتوپلاسمی^(۲) تشکیل شده است که دیواره نازکی از پیتیدوگلیکان^(۳) را در میان می‌گیرد. درصورتی که دیواره سلولی باکتری های گرم- مثبت با وجود دیواره ضخیم‌تر پیتیدوگلیکان، تک لایه و فاقد غشای خارجی و به مراتب نازک‌تر بوده^(۴) و همین ویژگی آنها را نسبت به آنتی بیوتیک‌ها حساس‌تر ساخته و باعث می‌شود اثر آنتی بیوتیک بر روی آنها مؤثرتر و مشهودتر باشد^(۵۰-۵۱). درنتیجه، سادگی دیواره سلولی باکتری های گرم - مثبت آنها را نسبت به نفوذ مهاجمان خارجی مانند نانوذره‌های نقره آسیب پذیرتر می‌سازد.

نبوت غشای خارجی در باکتری های گرم - مثبت منجر به مکانیسم دیگری می‌شود که تمایز آشکاری در از بین رفتن بسیار پرشمارتر باکتری های گرم - مثبت در برهمکنش با نانوذره‌های نقره در مقایسه با باکتری های گرم- منفی نشان می‌دهد. در این مکانیسم در نبوت غشا خارجی نانوذره‌های نقره با دسترسی مستقیم به رشته های گلیکان و یا شاخه‌های پیتیدی موجود در پیتیدوگلیکان وارد برهمکنش می‌شوند^(۵۲-۵۳) و با تخریب آن لایه، ضمن از بین بردن غشا، با ایجاد حفره، مسیرهایی را برای نفوذ آسان به درون سلول می‌سازد که شرایط را برای مکانیسم مرگ هر چه بیشتر سلولی فراهم می‌کند. در باکتری های گرم-منفی این برهمکنش به علت قرار گرفتن لایه پیتیدوگلیکان زیر غشای بیرونی صورت نمی‌پذیرد. پیتیدوگلیکان از اجزای ویژه و اساسی به تقریب تمامی باکتری‌هاست اما در باکتری‌های گرم- مثبت این لایه بسیار ضخیم تر (۲۰ تا ۸۰ نانومتر) از لایه موجود در باکتری‌های گرم - منفی (۷ تا ۸ نانومتر) است به گونه ای که در باکتری‌های گرم - مثبت حدود %۹۰ و در باکتری های گرم-منفی %۵ وزن خشک آنها را تشکیل می‌دهد^(۵۴). ویژگی‌های اصلی ساختاری پیتیدوگلیکان در رشته های گلیکان نهفته است که با پیتیدهای کوتاه پیوند خورده‌اند. در *S. aureus* Rشته‌های گلیکان

از سویی دیگر دو دلیل عمدۀ برای دیده نشدن اثر ضد باکتریایی نانوذره‌های نقره در پلی استایرن انساطوی دیرسوز بانیار وجود دارد که در مطالعه‌های دیگر نیز به خوبی پرداخته شده است. دلیل اول بستگی خاصیت ضد باکتریایی نانوذره‌های نقره به ابعاد [۳۶-۳۴] و شکل نانوذره‌های نقره [۳۷] می‌باشد به گونه ای که با افزایش اندازه نانوذره‌ها و همچنین تجمع توده ای نانوذره‌ها، نسبت سطح به حجم می‌تواند به مراتب کاهش یابد^(۳۸). کاهش این شاخص باعث افت عملکرد اندرکنش با ساختارهای زیستی می‌شود و درنتیجه عملکرد منفی کمتری بر متاپلیسم سلولی ایجاد می‌نماید^(۳۹). در محیط پلی استایرن انساطوی دیرسوز بانیار مطابق شکل ۳ به روشنی دیده می‌شود که نانوذره‌های نقره به صورت تجمعی دور هم‌دیگر جمع شده‌اند به طوری که تشکیل زنجیره‌های چندتایی داده اند. این در حالی است که مطابق شکل ۴ نانوذره‌ها نقره به بیشتر به طور مجزا در محیط پلی استایرن انساطوی پتروشیمی تبریز توزیع شده اند و عدم شکل‌گیری خوش‌های چندتایی نانوذره‌ها موجب بالارفتن احتمال اندرکنش با غشا سلولی و تخریب آن خواهد شد. بنابراین حضور ناخالصی‌های بیشتر از نوع پنتان، مونومرهای باقیمانده و HBCD در ترکیب شیمیایی آغازین پلی استایرن می‌تواند با کاهش توزیع همگن نانوذره‌ها در بستر پلی استایرن انساطوی [۴۰-۴۱] به عنوان عامل مهمی در کاهش عملکرد ضد باکتریایی نانوکامپوزیت های مورد بررسی با پلی استایرن انساطوی دیرسوز قلمداد شود. دلیل دوم برای مشاهده نشدن اثر ضد باکتریایی نانوذره‌های نقره در پلی استایرن انساطوی دیرسوز بانیار در مقایسه با پلیمر انساطوی استاندارد پتروشیمی تبریز به ویژگی دیرسوز بودن پلی استایرن بانیار به علت وجود HBCD مرتبط می‌باشد. پژوهش‌های اخیر نشان داده است که HBCD در حضور فلزهای سنگین و حلال های ارگانیک با آنها واکنش داده و همراه با از دست دادن یکی از برم های خود دچار تغییر ساختاری می‌شود^(۴۲-۴۳). در این فرایندها وجود فلزهای سنگین همچون نقره، مس و نیکل در نقش کاتالیزگر با تضعیف پیوند هالید-کربن^(۱) در هالیدهای آلی با تغییر پتانسیل کاهشی، وضعیت را برای جدا شدن هالید فراهم می‌کند^(۴۸-۴۲). این مسئله باعث می‌شود که نانو نقره‌های اضافه شده در پلی استایرن دارای HBCD جذب و درگیر این فرایند شده و فرصت کافی برای نفوذ به درون سلول های زنده باکتری‌ها که زمان بر نیز هست نداشته باشند.

(۱) Reduction Cleavage

(۲) Bacterial outer membrane

(۳) Cytoplasmic cell membrane

(۴) Peptidoglycan

دریچه‌ای نو در بهبود کارایی آن‌ها در مصرف‌های بهداشتی و صنعتی بهشمار آید. در این پژوهش سعی شد تا از خاصیت ضدبacterیایی نانوذره‌های نقره برای بهبود ویژگی‌های پلی استایرن انساطی دیرسوز و استاندارد استفاده شود. برای این منظور نانوذره‌های نقره به این پلی استایرن‌ها افزوده شد. پس از تهیه ورقه‌های نانوکامپوزیت پلیمری نقره - پلی استایرن ویژگی‌های ضد bacterیایی آنها بر دو گونه باکتری *S. aureus* ATCC 6538 و *E. coli* ATCC 25922 نشان داد که تنها نانوکامپوزیت انساطی استاندارد پتروشیمی تبریز می‌تواند بر باکتری گرم مثبت *S. aureus* ATCC 6538 اثر ضدبacterیایی داشته باشد. این اثر نیز وابستگی مستقیم با غلظت نانوذره‌های نقره به کار رفته در ساختار این نانوکامپوزیت دارد. تفاوت‌های ساختار دیواره سلولی و درون سلولی این دو باکتری و فراوانی و انواع ناخالصی‌های موجود در دو نوع نانوکامپوزیت از جمله مهم ترین عامل‌های تأثیرگذار در توجیه این ویژگی‌های متفاوت ضدبacterیایی به حساب می‌آید. نقش رهاسازی یون‌های Ag⁺ توسط نانوذره‌های نقره و تأثیر مستقیم آنها بر DNA باکتری نیز به عنوان عامل اصلی در وابستگی ویژگی‌های ضد bacterیایی نانوکامپوزیت انساطی استاندارد پتروشیمی تبریز به غلظت نانوذره‌های نقره می‌باشد. نتیجه‌های این پژوهش می‌تواند راهگشای پژوهشگران در تولید نانوکامپوزیت‌های پلی استایرن نقره با خاصیت ضد bacterیایی قوی باشد.

تاریخ دریافت: ۱۳۹۵/۵/۲۱؛ تاریخ پذیرش: ۱۳۹۵/۹/۱

شامل اسیدهای N-acetylglucosamine و N-acetylmuramic است که به طور متناوب قرار گرفته اند. زنجیره پیتید نیز به شکل ترکیب آلانین^(۱)-گلوتامین^(۲)-لیزین^(۳)-آلانین می‌باشد [۵۵]. در برهمکنش نانوذره‌های نقره با رشته‌های گلیکان در پیتیدوگلیکان، مورامیک اسید^(۴)-قند یگانه موجود در پیتیدوگلیکان - آزاد می‌شود. میزان اسید مورامیک که یکی از شاخص‌های زیستی اصلی برای مشخص کردن جرم زیستی باکتری‌هاست در دیواره سلولی باکتری‌های گرم - مثبت حدود ۹۵٪ در مقایسه با بیشینه ۵٪ در دیواره سلولی باکتری‌های گرم - منفی است [۵۶]. آزاد شدن مورامیک اسید در محیط کشت نشان دهنده موقوفیت آمیز بودن برهمکنش نانوذره‌ها با رشته‌های گلیکان پیتیدوگلیکان و تخریب دیواره سلولی می‌باشد.

سرانجام یافته‌های ما بیانگر آن دارد که اثر ضد bacterیایی نانوذره‌های نقره بر باکتری گرم - مثبت *S. aureus* ATCC 6538 به غلظت نانوذره‌ها بستگی دارد. فراوانی یون‌های پخش شده از نانوذره‌های نقره وابسته به غلظت این نانوذره‌ها در نانوکامپوزیت می‌باشد، درنتیجه به طور مستقیم آثار ضد bacterیایی با غلظت این نانوذره‌ها ارتباط دارند. به عبارتی دیگر با افزایش غلظت نانوذره‌های نقره، تعداد یون‌های ساطع شده نیز به مراتب افزایش یافته که به طور مستقیم باعث آثار مخرب بیشتری خواهد شد.

نتیجه‌گیری

پلی استایرن به عنوان یکی از پرمصرف ترین پلیمرها در مصرف‌های ساختمانی و بهداشتی شناخته می‌شوند. افزودن خاصیت ضد bacterیایی به این پلی استایرن‌ها می‌تواند به عنوان

مراجع

[۱] زمان خان، حسام؛ آیتی، بیتا؛ گنجی دوست، حسین، تجزیه فتوکاتالیستی فنل به وسیله نانوذرات روی اکسید

ثبت شده بر بستر بتنی، نشریه شیمی و مهندسی شیمی ایران، (۳) ۳۱: ۹-۱۹ (۱۳۹۱).

[۲] Vodnik V.V., Božanić D.K., Džunuzović E., Vuković J., Nedeljković J.M., Thermal and Optical Properties of Silver-poly(methylmethacrylate) Nanocomposites Prepared by In-Situ radical Polymerization, *Eur. Polym. J.*, **46**: 137–144 (2010).

(۱) Alanine

(۳) Lysine

(۲) Glutamine

(۴) Muramic acid

- [3] Singho N.D., Lah N.A.C., Johan M.R., Ahmad R., [Enhancement of the Refractive Index of Silver Nanoparticles in Poly \(Methyl Methacrylate\)](#), *Int. J. Res. Eng. Technol.*, **1**:2277–4378 (2012).
- [4] Liu S., He J., Xue J., Ding W., [Efficient Fabrication of Transparent Antimicrobial Poly\(vinyl Alcohol\) Thin Films](#), *J. Nanopart. Res.*, **11**:553–560 (2009).
- [5] Feng Q., Dang Z., Li N., Cao X., [Preparation and Dielectric Property of Ag–PVA Nano-Composite](#), *Mater. Sci. Eng. B*, **99**: 325–328 (2003).
- [6] Kazemi A., Raftari M., Tollabimazraehno S., Mahdavi M., Irajizad A., [Comparison Anti-Bacterial Effect of Silver/Polystyrene Nanocomposites on Gram Negative and Positive Bacteria](#), “American Physical Society, APS March Meeting”, February 27-March 2 (2012).
- [7] Zapata P.A., Tamayo L., Páez M., Cerdá E., Azócar I., Rabagliati F.M., [Nanocomposites Based on Polyethylene and Nanosilver Particles Produced by Metallocenic “in situ” Polymerization: Synthesis, Characterization, and Antimicrobial Behavior](#), *Eur. Polym. J.*, **47**:1541–1549 (2011).
- [8] Abbasi A.R., Kalantary H., Yousefi M., Ramazani A., Morsali A., [Synthesis and Characterization of Ag Nanoparticles@Polyethylene Fibers under Ultrasound irradiation](#), *Ultrason. Sonochem.*, **19**:853–857 (2012).
- [9] Singh R.P., Tiwari A., Pandey A.C., [Silver/Polyaniline Nanocomposite for the Electrocatalytic Hydrazine Oxidation](#), *J. Inorg. Organomet. Polym.*, **21**:788–792 (2011).
- [10] Lokensgard E., “[Industrial Plastics: Theory and Applications](#)”, Delmar, Cengage Learning, New York, USA (2010).
- [11] Gray J.E., “[Polystyrene: Properties, Performance, and Applications](#)”, Nova Science Publishers (2011).
- [12] Singleton P., “[Bacteria in Biology, Biotechnology and Medicine](#)”, John Wiley & Sons Ltd, New York (1999).
- [13] Kluytmans J., van Belkum A., H Verbrugh H., [Nasal Carriage of *Staphylococcus Aureus*: Epidemiology, Underlying Mechanisms, and Associated Risks](#), *Clin. Microbiol. Rev.*, **10**:505–520 (1997).
- [14] Bauer A.W., Kirby W.M.M., Sherris J.C., Turck M., [Antibiotic Susceptibility Testing by a Standardized Single Disk Method](#), *Am. J. Clin. Pathol.*, **45**:493-496 (1966).
- [15] Feng Q.L., Wu J., Chen G.Q., Cui F.Z., Kim T.N., Kim J.O., [A Mechanistic Study of the Antibacterial Effect of Silver Ions on *Escherichia Coli* and *Staphylococcus Aureus*](#), *J. Biomed. Mater.*, **52**:662-668 (2000).
- [16] Son W.K., Youk J.H., Lee T.S., Park W.H., [Preparation of Antimicrobial Ultrafine Cellulose Acetate Fibers with Silver Nanoparticles](#), *Macromol. Rapid Commun.*, **25**:1632-1637 (2004).
- [17] Melaiye A., Sun Z., Hindi K., Milsted A., Ely D., Reneker D., [Silver\(I\)-Imidazole Cyclophane gem-Diol Complexes Encapsulated by Electrospun Tecophilic Nanofibers: Formation of Nanosilver Particles and Antimicrobial Activity](#), *J. Am. Chem. Soc.*, **127**:2285-2291 (2005).

- [18] Yildirim L.T., Kurtaran R., Namli H., Azaz A.D., Atakol O., *Synthesis, Crystal Structure and Biological Activity of Two New Heterotrinuclear Thiocyanato Bridged Cu(II)-Hg(II)-Cu(II) Complexes*, *Polyhedron.*, 26:4187-4194 (2007).
- [19] Kurtana R., Yildirim L.T., Azaz A.D., Namli H., Atkcol O., *Synthesis, Characterization, Crystal Structure and Biological Activity of a Novel Heterotetrานuclear Complex:[NiLPb(SCN)2(DMF)(H2O)]2,bis-[{m-N,N'-bis(salicylidene)-1,3-propanediaminato-Aqua-nickel (II)} (thiocyanato)(m-thiocyanato)(m-N,N'-dimethylformamide)lead(II)}*, *J. Inorg. Biochem.*, 99:1937-1944 (2005).
- [20] Eljarrat E., Barceló D., “*Brominated Flame Retardants*”, Springer Berlin Heidelberg (2010).
- [21] Scherrer P., *Bestimmung der Grösse und der Inneren Struktur von Kolloidteilchen Mittels Röntgensrahlen [Determination of the size and Internal Structure of Colloidal Particles Using, Nachr. Göttinger Nachrichten Math. Phys.*, 2:98–100 (1918). [German]
- [22] Cullity B. D., “*Elements of X-ray Diffraction*”, Addison Wesley (1978).
- [23] Cho K.H., Park J.E., Osaka T., Park S.G., *The Study of Antimicrobial Activity and Preservative Effects of Nanosilver Ingredient*, *Electrochim.Acta*, 51:956-960 (2005).
- [24] Liau S., Read D., Pugh W., Furr J., Russell A., *Interaction of Silver Nitrate with Readily Identifiable Groups: Relationship to the Antibacterial Action of Silver Ions*, *Lett. Appl. Microbiol.*, 25:279-283 (1997).
- [25] Spacciapoli P., Buxton D., Rothstein D., Friden P., *Antimicrobial Activity of Silver Nitrate Against Periodontal Pathogens*, *Periodontal J. Res.*, 36:108-113 (2001).
- [26] Schrand A.M., Rahman M.F., Hussain S.M., Schlager J.J., Smith D.A., Syed A.F., *Metal-Based Nanoparticles and Their Toxicity Assessment*, *WIREs Nanomed. Nanobiotechnol.*, 2:544–568 (2010).
- [27] Braydich-Stolle L., Hussain S., Schlager J.J., Hofmann M.C., *In Vitro Cytotoxicity of Nanoparticles in Mammalian Germline Stem Cells*, *Toxicol. Sci.*, 88:412-419 (2005).
- [28] Hussain S.M., Javorina A.K., Schrand A.M., Duhart H.M., Syed A.F., Schlager J.J., *The Interaction of Manganese Nanoparticles with PC-12 Cells Induces Dopamine Depletion*, *Toxicol. Sci.*, 92:456-463 (2006).
- [29] Percival S.L., Bowler P.G., Russell D., *Bacterial Resistance to Silver in Wound Care*, *J. Hosp. Infect.*, 60:1-7 (2005)
- [30] Wright J.B., Lam K., Hansen D., Burrell R.E., *Efficacy of Topical Silver Against Fungal Burn Wound Pathogens*, *Am. J. Infect. Control*, 27:344-350 (1999).
- [31] Feng Q.L., Wu J., Chen G.Q., Cui F.Z., Kim T.N., Kim J.O., *A Mechanistic Study of the Antibacterial Effect of Silver Ions on Escherichia Coli and Staphylococcus Aureus*, *J. Biomed. Mater. Res.*, 52:662-8 (2000).
- [32] Brett D.W. , *A discussion of Silver as an Antimicrobial Agent: Alleviating the Confusion*, *Ostomy Wound Manag.*, 52:34-41 (2006).

- [33] Hidalgo E., Dominguez C., *Study of Cytotoxicity Mechanisms of Silver Nitrate in Human Dermal Fibroblasts*, *Toxicol. Lett.*, **98**:169-179 (1998).
- [34] Lok C.N., Ho C.M., Chen R., He Q.Y., Yu W.Y., Sun H., Tam P.K., Chiu J.F., Che C.M., *Silver Nanoparticles: Partial Oxidation and Antibacterial Activities*, *J. Biol. Inorg. Chem.*, **12**:527–534 (2007).
- [35] Martínez-Castañón G. A., Niño-Martínez N., Martínez-Gutierrez F., Martínez-Mendoza J. R., Ruiz F., *Synthesis and Antibacterial Activity of Silver Nanoparticles with Different Sizes*, *J. Nanopart. Res.*, **10**:1343–1348 (2008).
- [36] Baker C., Pradhan A., Pakstis L., Pochan D.J., Shah S. I., *Synthesis and Antibacterial Properties of Silver Nanoparticles*, *J. Nanosci. Nanotechnol.*, **5**:244-249 (2005).
- [37] Pal S., Tak Y.K., Song J.M., *Does the Antibacterial Activity of Silver Nanoparticles Depend on the Shape of the Nanoparticle? A Study of the Gram-Negative Bacterium *Escherichia coli**, *Appl. Environ. Microbiol.*, **73**:1712-1720 (2007).
- [38] Powers K.W., Brown S.C., Krishna V.B., Wasdo S.C., Moudgil B.M., Roberts S.M., *Research Strategies for Safety Evaluation of Nanomaterials. Part VI. Characterization of Nanoscale Particles for Toxicological Evaluation*, *Toxicol. Sci.*, **90**:296-303 (2006).
- [39] Jiang J., Oberdörster G., Biswas P., *Characterization of Size, Surface Charge, and Agglomeration State of Nanoparticle Dispersions for Toxicological Studies*, *J. Nanopart. Res.*, **11**:77-89 (2009).
- [40] Keller A.A., Wang H., Zhou D., Lenihan H.S., Cherr G., Cardinale B.J., Miller R., Ji Z., *Stability and Aggregation of Metal Oxide Nanoparticles in Natural Aqueous Matrices*, *Environ. Sci. Technol.*, **44**:1962–1967 (2010).
- [41] Pranami G., “*Understanding Nanoparticle Aggregation*”, PhD Dissertation, Iowa State University, USA (2009).
- [42] Zhong Y., Peng P., Yu Z., Deng H., *Effects of Metals on the Transformation of Hexabromocyclododecane (HBCD) in Solvents: Implications for Solvent-Based Recycling of Brominated Flame Retardants*, *Chemosphere*, **81**:72–78 (2010).
- [43] Wagoner E.R., Baumberger C.P., Peverly A.A., Peters D.G., *Electrochemical Reduction of 1,2,5,6,9,10-hexabromocyclododecane at Carbon and Silver Cathodes in Dimethylformamide*, *J. Electroanal. Chem.*, **713**:136–142 (2014).
- [44] Fedurco M., Sartoretti C.J., Augustynski J., *Reductive Cleavage of the Carbon-Halogen Bond in Simple Methyl and Methylene Halides. Reactions of the Methyl Radical and Carbene at the Polarized Electrode/Aqueous Solution Interface*, *Langmuir*, **17**:2380–2387 (2001).
- [45] Isse A.A., Falciol L., Mussini P.R., Gennaro A., *Relevance of Electron Transfer Mechanism in Electrocatalysis: the Reduction of Organic Halides at Silver Electrodes*, *Chem. Commun.*, **3**:344-346 (2006)

- [46] Strawsine L.M., Sengupta A., Raghavachari K., Peters D.G., Direct Reduction of Alkyl Monohalides at Silver in Dimethylformamide: Effects of Position and Identity of the Halogen, *Chem. Electrochem.*, **2**:726–736 (2015).
- [47] Pretty S.D., Musa A.Y., Wren J.C., Reactions of Bromide and Iodide Ions with Silver Oxide Films on Ag Substrates, *J. Electrochem. Soc.*, **160**:H13-H21 (2013).
- [48] Vojinovic V., Mentus S., Komnenic V., Bromide Oxidation and Bromine Reduction in Propylene Crbonate, *J. Electroanal. Chem.*, **547**:109-113 (2003).
- [49] Brown L., Wolf J.M., Prados-Rosales R., Casadevall A., Through the wall: Extracellular Vesicles in Gram-Positive Bacteria, Mycobacteria and Fungi, *Nature Rev. Microbiol.*, **13**:620–630 (2015).
- [50] Vaara M., Antibiotic-Supersusceptible Mutants of *Escherichia coli* and *Salmonella Typhimurium*, *Antimicrob Agents Chemother.*, **37**:2255–2260 (1993)
- [51] Nikaido H., Antibiotic Resistance Caused by Gram-Negative Multidrug Efflux Pumps, *Clin. Infect. Dis.*, **27**:S32-41 (1998)
- [52] Li W-R., Xie X-B., Shi Q-S., Zeng H-Y., OU-Yang Y-S., Chen Y-B., Antibacterial Activity and Mechanism of Silver Nanoparticles on *Escherichia Coli*, *Appl. Microbiol. Biotechnol.*, **85**:1115-1122 (2010)
- [53] Mirzajania F., Ghassempour A., Aliahmadi A., Esmaeili M.A., Antibacterial Effect of Silver Nanoparticles on *Staphylococcus Aureus*, *Res. Microbiol.*, **162**:542–549 (2011)
- [54] Seltmann G., Holst O., “The Bacterial Cell Wall”, Springer-Verlag Berlin Heidelberg (2002)
- [55] Vollmer W., Blanot D., de Pedro M.A., Peptidoglycan Structure and Architecture, *FEMS Microbiol. Rev.*, **32**:149-167 (2008)